

Liquefaction

روانگرایی (آبگونگی - سیالیت)

قاسم زاده

1

Introduction



2

Introduction

اگر یک ماسه اشیاع تحت ارتعاش قرار گیرد، تمایل به تراکم و کاهش حجم پیدا می کند.
در این حالت اگر امکان ز هکشی برقرار نباشد نتیجه کار افزایش فشار حفره ای خواهد
بود. اگر به علت ارتعاش پیوسته ، فشار حفره ای آب در نهشته ماسه ای افزایش باید ،
گاهی موقع مقدار آن ممکن است مساوی فشار سربار گردد.

$$\sigma' = \sigma - u$$

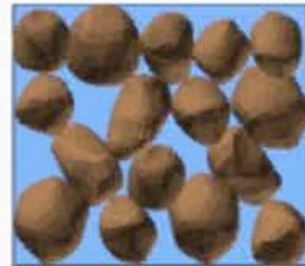
$$\sigma = u \Rightarrow \sigma' = 0 \Rightarrow \text{روانگرایی}$$

تحت این شرایط ماسه هیچ گونه مقاومت برآمد نخواهد داشت و به حالت مایع در می آید . به
چنین وضعیتی روانگرایی می گویند که اغلب در ماسه های ریز تا متوسط به وقوع می پیوندد.

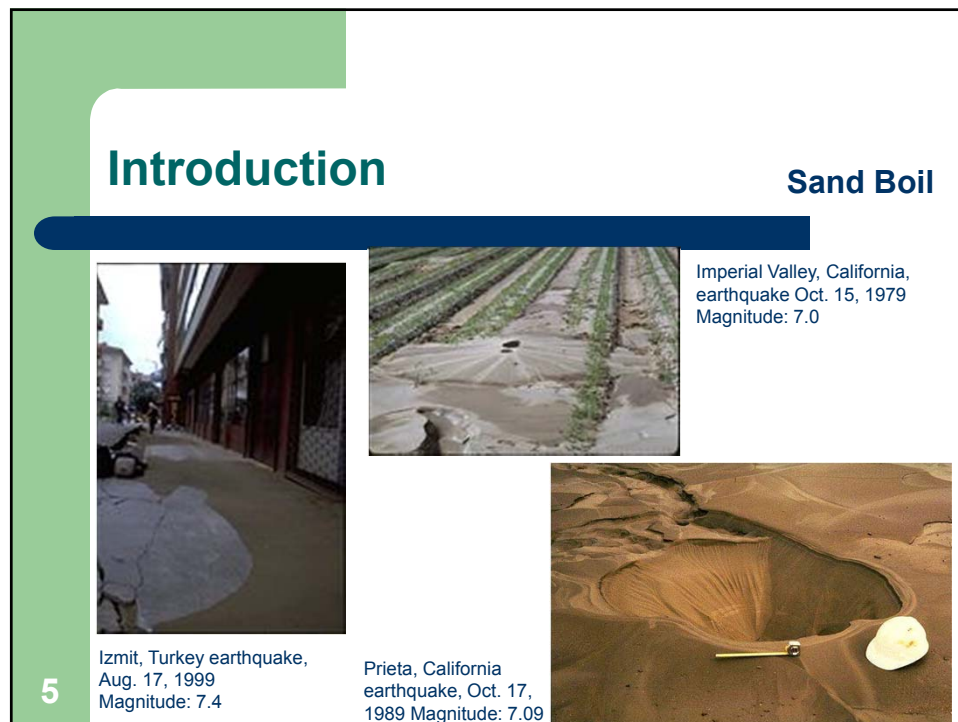
روانگرایی ماسه های اشیاع در حین زلزله ، عامل خسارات زیادی به ساختمانها، سدهای خاکی،
و سازه های حایل خاک بوده است. برای مثال، زلزله 16 زوئن سال 1964 میلادی در نیگاتای
ژاپن و زلزله 1964 میلادی آلاسکا می باشد. آبگونگی پدیده ای است

3

Introduction



4



انواع روانگرایی

۱- **روانگرایی جریانی** : تنش برشی استاتیکی لازم برای تعادل توده بیشتر از مقاومت برشی خاک روان شده باشد.

Flow liquefaction

۲- **تحرک سیکلی** : تنش برشی استاتیکی توده کمتر از مقاومت برشی خاک روان شده باشد.

Cyclic mobility

بررسی امکان وقوع روانگرایی

- ۱- بررسی تاریخی
- ۲- زمین شناسی
- ۳- ساختار خاک
- ۴- حالت اولیه خاک - تخلخل و تنش پیش تحقیکی

6

روانگرایی

خاکهای ریزدانه دارای هریک از معیارهای ذیل ممکن است کاهش مقاومت از خود نشان دهد

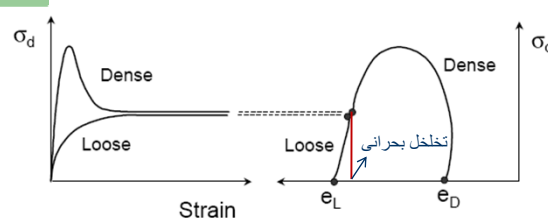
$< 10\%$ ریزدانه (0.005 میلیمتر)

$< 36\%$ حدروانی

$> 92\%$ (حد روانی) > رطوبت طبیعی

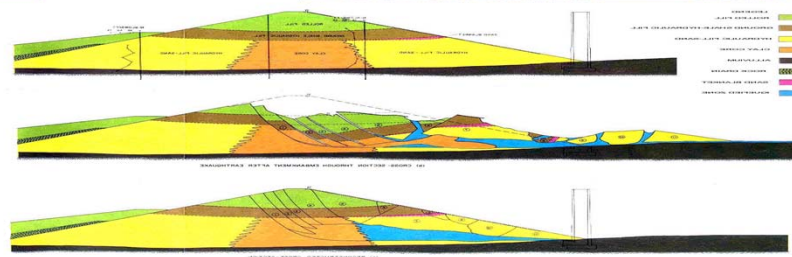
$$LI = \frac{w - PL}{LL - PL}$$

تخلخل بحرانی > تخلخل



أنواع روانگرائي

Flow liquefaction
San francisco
San fernando dam



Cyclic mobility Lateral spreading



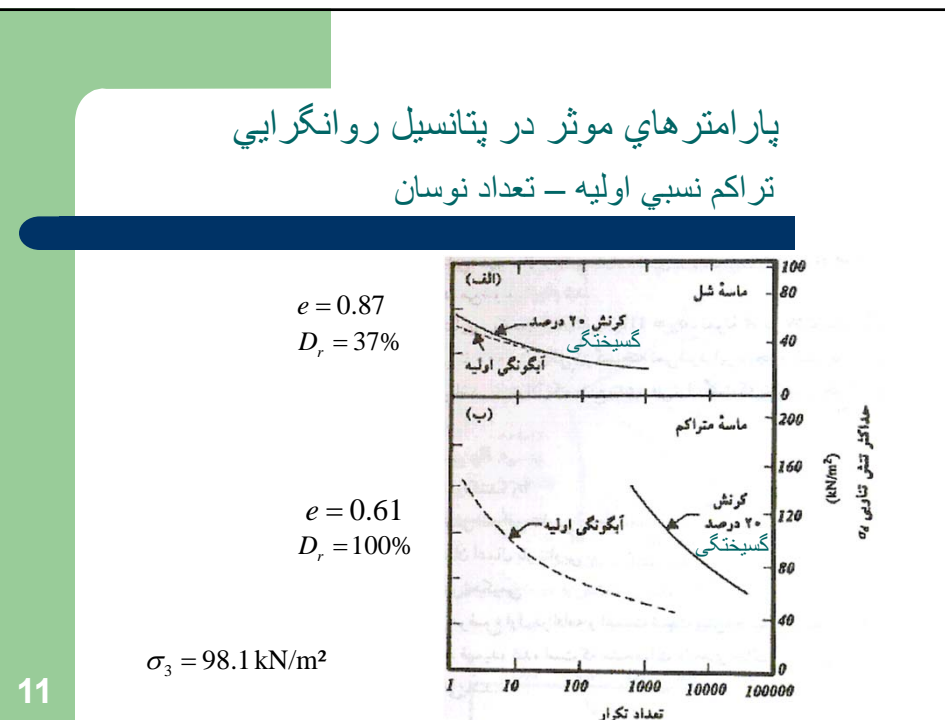
Lateral Spreading
at Tea Garden in
Seymen, Turkey
1999

9

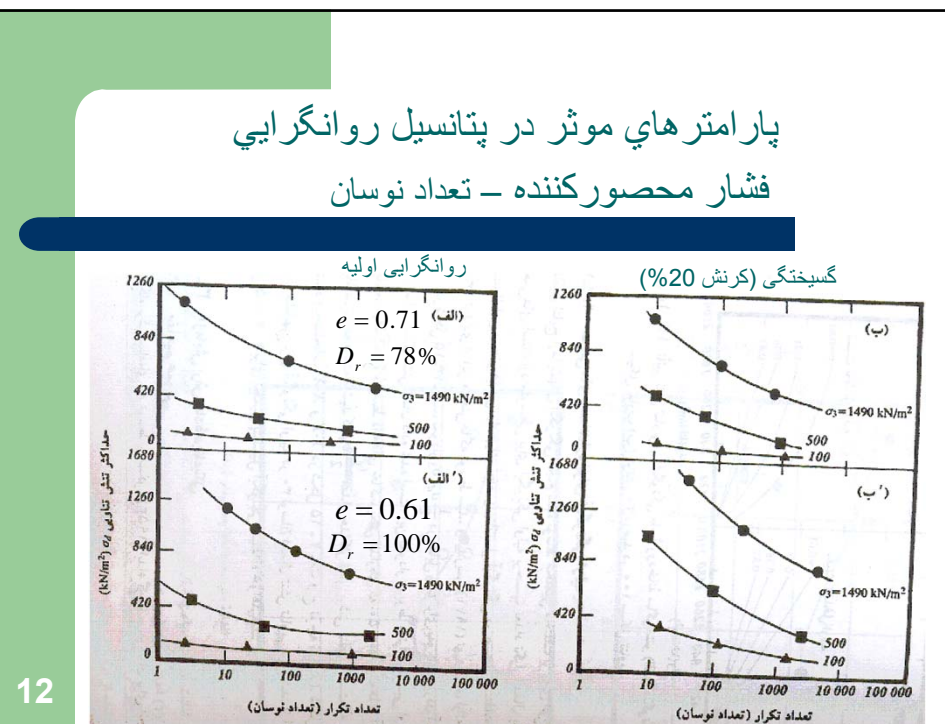
پارامترهای موثر در پتانسیل روانگرایی

- ۱- تراکم نسبی D_r
- ۲- مشخصات دانه های خاک- اندازه و شکل ذرات
- ۳- فشار محدود کننده σ_3
- ۴- موقعیت زهکشها و ابعاد توده خاک
- ۵- ماهیت ارتعاشات - حداقل تنش انحرافی تناوبی σ_d
 - تعداد نوسان اعمال بار تناوبی
 - شتاب قائم و افقی
- ۶- حباب هوا

10



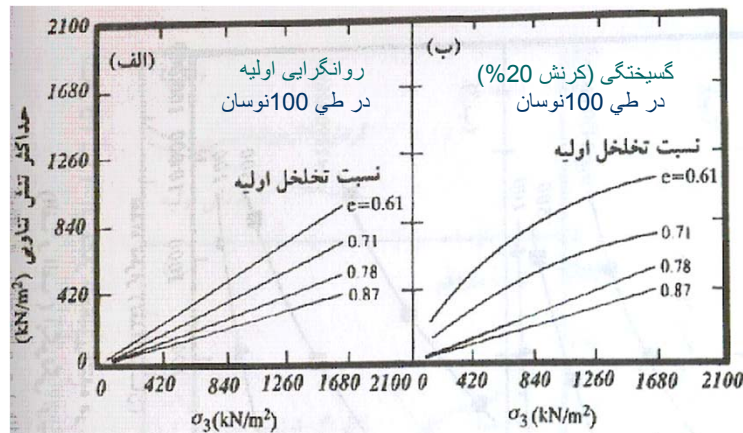
11



12

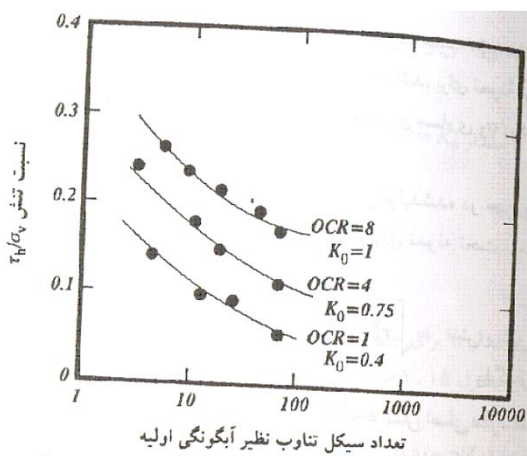
پارامترهای موثر در پتانسیل روانگرایی حداکثر تنش انحرافی تناوبی

13

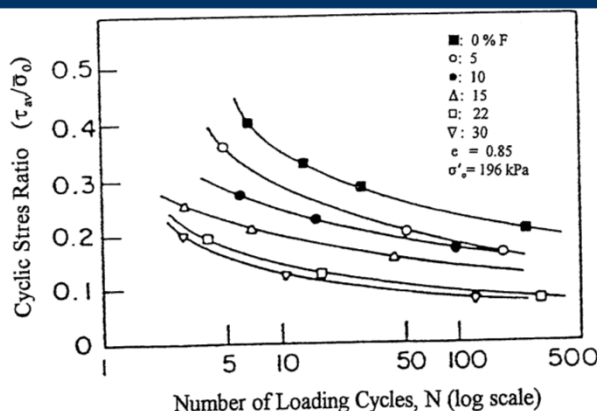


پارامترهای موثر در پتانسیل روانگرایی تنش پیش تحکیمی

14



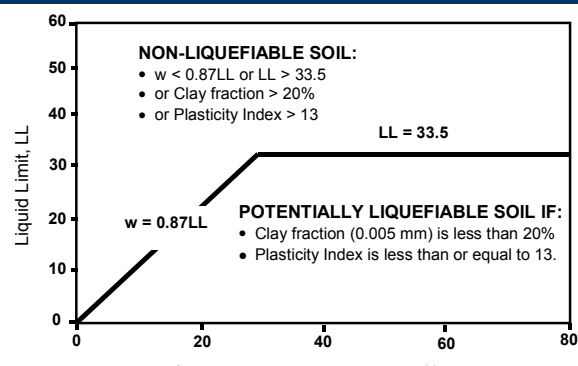
پارامترهای موثر در پتانسیل روانگرایی درصد ریزدانه



15

Variation of Cyclic Strength with Fine Content at Constant Void Ratio (after Troncoso, 1990)

پارامترهای موثر در پتانسیل روانگرایی درصد ریزدانه - حد خمیری - حد روانی

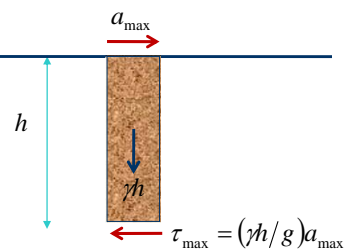


16

Chinese Criteria Adapted to ASTM Definitions of Soil Properties (Perlea, Koester and Prakash, 1999)

معمولاً بیشتر خاکهای رسی در اثر زلزله دچار آبگونگی نمی شوند. با این حال، مطالعات اخیر نشان داده اند که در انواع معینی از مصالح رسی ممکن است در اثر تکانهای زلزله، افت مقاومت زیادی ایجاد شود.

تعیین پتانسیل روانگرایی روش سید و ادريس



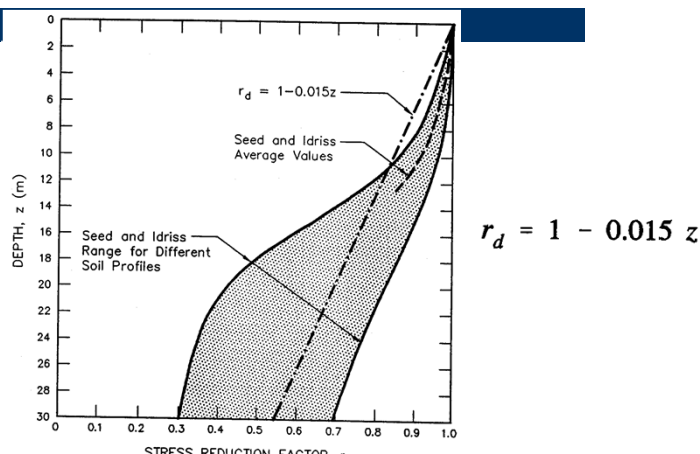
$$\tau_{\max} = (\gamma h / g) a_{\max}$$

ستون خاک صلب نیست و یک محیط شکل پذیر است، لذا رابطه باید اصلاح شود:

$$\tau_{\max(\text{mod})} = C_D \tau_{\max} = C_D [(\gamma h / g) a_{\max}]$$

17

تعیین پتانسیل روانگرایی روش سید و ادريس



Stress reduction factor, r_d (modified after Seed and Idriss, 1982, reprinted by permission of EERI).

18

تعیین پتانسیل روانگرایی روش سید و ادریس

حداکثر تنش برشی به دست آمده از تاریخچه زمانی تنش برشی در حین زلزله می تواند به تعداد نوسان تنشهای مهم تبدیل شود.

جدول ۲ - تعداد نوسان تنشهای مهم N

مربوط به τ_{av}	N
بزرگی زلزله 7	10
7.5	20
8	30

سید، و ادریس تنشهای یکنواخت نوسانهای مهم را طبق رابطه زیر پیشنهاد می نمایند:

$$\tau_{av} = 0.65\tau_{max(mod)} = 0.65C_D [(\gamma h / g)a_{max}]$$

19

تعیین پتانسیل روانگرایی روش سید و ادریس

نسبت تنشی که باعث روانگرایی می شود با استفاده از نتایج آزمایشگاه بدست می آید.

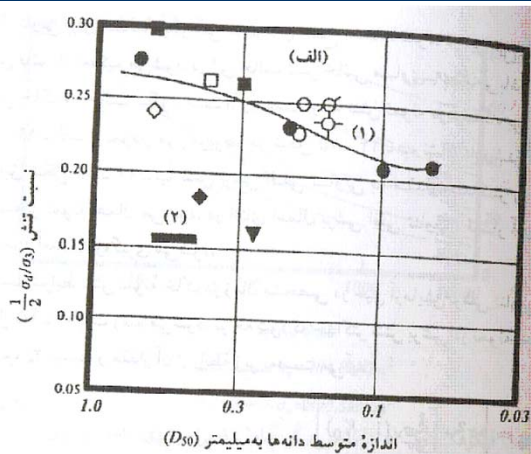
$$\left(\frac{\tau}{\sigma'_0} \right)_{site, D_r} = C_r \left(\frac{\sigma_{dev}}{2\sigma'_3} \right)_{triaxial, D_r=50} \left(\frac{D_r}{50} \right)$$

D_r	site	C_r
20		0.54
30		0.54
40		0.54
50		0.565
60		0.61
70		0.66
80		0.705

20

تعیین پتانسیل روانگرایی روش سید و ادریس

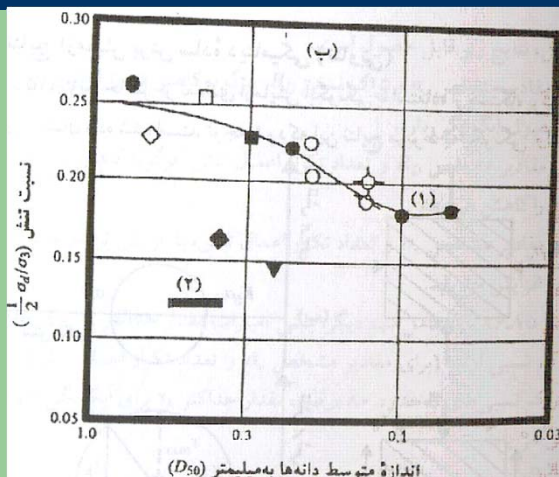
21



نسبت تنش نمونه آزمایشگاه
در 10 سیکل

تعیین پتانسیل روانگرایی روش سید و ادریس

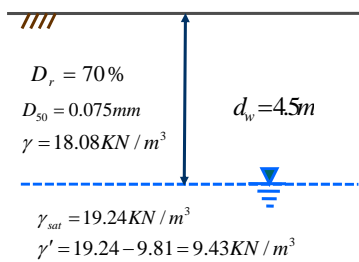
22



نسبت تنش نمونه آزمایشگاه
در 30 سیکل

تعیین پتانسیل روانگرایی روش سید و ادریس

23



مثال: پتانسیل روانگرایی خاک مقابل در
عمق 9 متری تحت زلزله 7 ریشتر را
تعیین نمایید

$$\Rightarrow \begin{aligned} N &= 10 \\ C_D &= 0.925 \\ C_r &= 0.66 \end{aligned}$$

تعیین پتانسیل روانگرایی روش سید و ادریس

24

$$\sigma = \gamma h_1 + \gamma h_2 = 4.5 * 18.08 + 4.5 * 19.24 = 167.94$$

$$\text{تش زلزله } \tau_{av} = 0.65 * 0.925 * 167.94 [a_{max} / g] = 100.97 [a_{max} / g]$$

$$\sigma'_0 = \gamma h_1 + \gamma h_2 = 4.5 * 18.08 + 4.5 * 9.43 = 123.8$$

$$D_{50} = 0.075 \text{ mm} \Rightarrow \left(\frac{\sigma_{dev}}{2\sigma'_3} \right)_{triaxial, D_r=50} = 0.215$$

$$\left(\frac{\tau}{\sigma'_0} \right)_{site, D_r} = C_r \left(\frac{\sigma_{dev}}{2\sigma'_3} \right)_{triaxial, D_r=50} \left(\frac{D_r}{50} \right)$$

$$\text{مقاومت خاک } \tau_{site, D_r} = 123.8 * 0.66(0.215) \left(\frac{70}{50} \right) = 24.5 \text{ kN/m}^3$$

روانگرایی داریم

$$\text{مثال } a_{max} = 0.3g \Rightarrow \tau_{av} = 30.3 > 24.5 \Rightarrow$$

روش کنترل روانگرایی

برای تبیین ناحیه‌ای در صحراء که آبگونگی خاک به علت زلزله از آنجا شروع می‌شود :

1 - ابتدا زلزله طرح را انتخاب نمایید.

2 - در اعماق مختلف لایه ماسه‌ای، تاریخچه زمانی تنش برشی ناشی از زلزله (یعنی تغییرات زمانی تنشهای برشی ایجاد شده در اثر زلزله) را به دست آورید.

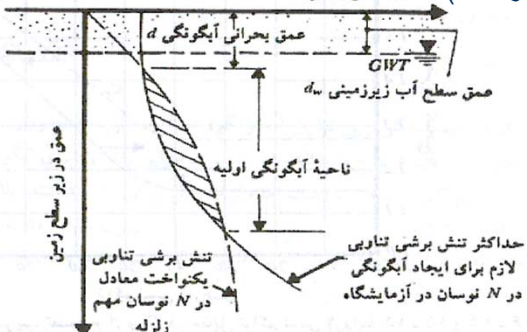
3 - تاریخچه زمانی تنش برشی را به تنشهای یکنواخت تبدیل نموده و مقدار تنشهای یکنواخت معادل را به صورت تابعی از عمق رسم نمایید

4 - با استفاده از نتایج آزمون آزمایشگاهی، مقدار تنشهای تناوبی لازم را که باعث آبگونگی اولیه در صحراء می‌شود به دست آورید.

25

روش کنترل روانگرایی

5 - ناحیه‌ای که در ان ترازهای تنش برشی لازم برای آبگونگی (گام 4) مساوی و یا کوچکتر از تنشهای برشی تناوبی معادل به وجود آمده برای زلزله می‌باشد، ناحیه ممکن برای آبگونگی می‌باشد (ناحیه هاشور زده شده) GWT تنش برشی



26

نسبت تنش سیکلی

CSR = cyclic stress ratio causing 5% strain in 20 cycles

$$\text{Simple shear test} \quad \text{CSR}_{ss} = \tau_{cyc} / \sigma'_{v0}$$

$$\text{Triaxial test} \quad \text{CSR}_{tt} = \sigma_{dc} / 2\sigma'_3$$

$$\text{CSR}_{ss} = C_r \text{CSR}_{tt} \quad C_r = (1 + K_0) / 2 \quad \text{Finn 1971}$$

$$C_r = 2(1 + 2K_0) / 3\sqrt{3} \quad \text{Castro 1975}$$

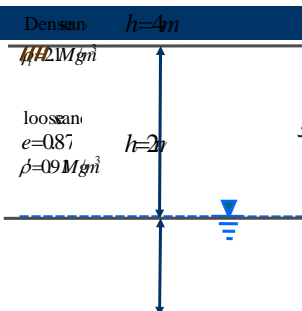
نسبت تنش سیکلی مقاوم در سایت به دلیل لرزه‌های چند جهته کاهش می‌یابد

$$\text{CSR}_{site} = 0.9 \text{CSR}_{ss} = 0.9 C_r \text{CSR}_{tt}$$

$$CSR_{EQ} = 0.65(a_{max} / g)r_d(\sigma_v / \sigma'_v)$$

27

تعیین پتانسیل روانگرایی روش سید و ادریس



مثال: تنش برشی ماکریم برای ایجاد روانگرایی در لایه سست

خاک مقابله رانخت زلزله 7.5 ریشتر را تعیین نمایید
فرض نمایید تنش انحرافی سیکلی که موجب روانگرایی می‌شود
برابر 100 kPa در فشار مخصوص کننده 39 kPa باشد

$$\sigma'_{v0} = \gamma h_1 + \gamma' h_2 = 4 * 2.1 + 1 * 0.91 = 91.3 kPa$$

$$\text{CSR}_{tt} = \sigma_{dc} / 2\sigma'_3 = \frac{39}{2 * 100} = 0.195$$

$$K_0 = 1 - \sin 33 = 0.46$$

$$C_r = (1 + K_0) / 2 = \frac{1 + 0.46}{2} = 0.73$$

$$\text{CSR}_{site} = 0.9 \text{CSR}_{ss} = 0.9 * 0.73 * 0.195 = 0.128$$

$$\text{CSR}_{site} = \tau_{cyc} / \sigma_{v0} \Rightarrow \tau_{cyc} = \text{CSR}_{site} \sigma_{v0} = 0.128 * 91.3 = 11.7 kPa$$

$$\Rightarrow \tau_{max} = \tau_{cyc} / 0.65 = 11.7 / 0.65 = 18 kPa$$

28

تعیین پتانسیل روانگرایی تأثیر تنش بر شی اولیه و فشارهای جانبی بزرگ

$$\text{CSR}_L = \text{CSR}_{7.5} k_M k_\sigma k_\alpha$$

نسبت تنش های سیکلی بحرانی جهت وقوع روانگرایی اولیه_L

نسبت تنش های سیکلی بحرانی زلزله 75 ریشتر

تأثیر تنش بر شی اولیه با k_α و تأثیر فشارهای جانبی بزرگ

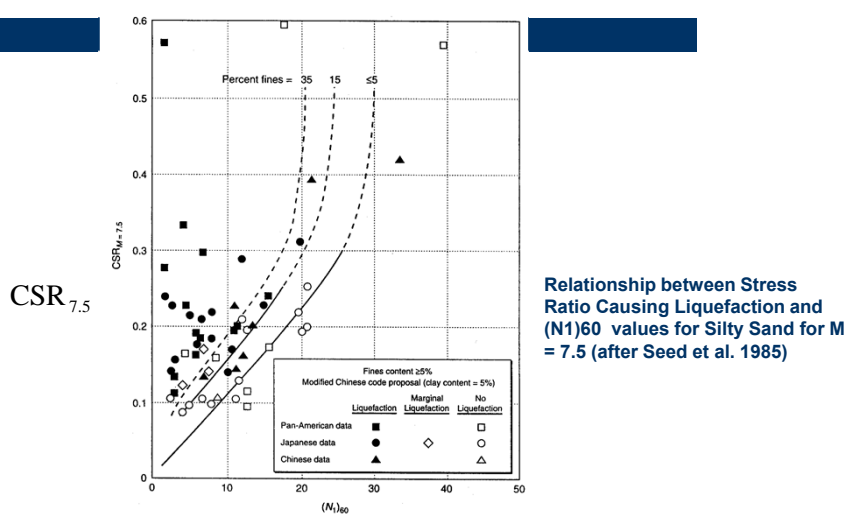
تأثیر زلزله های با بزرگای متفاوت k_M

زلزله با بزرگی	k_M
5.25	1.5
6	1.32
6.75	1.13
7.5	1
8.5	0.89

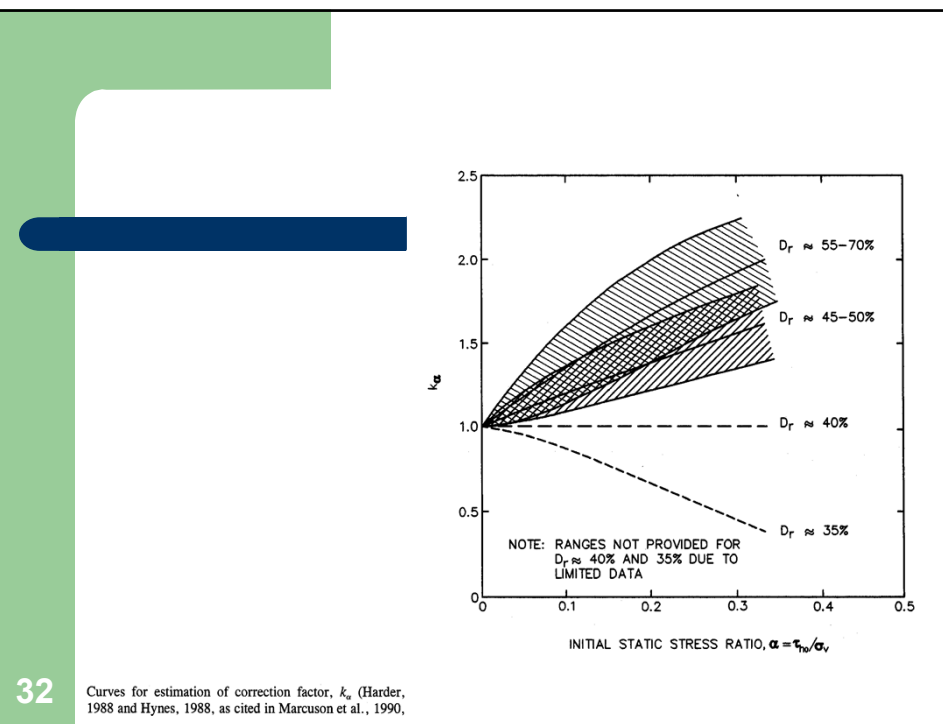
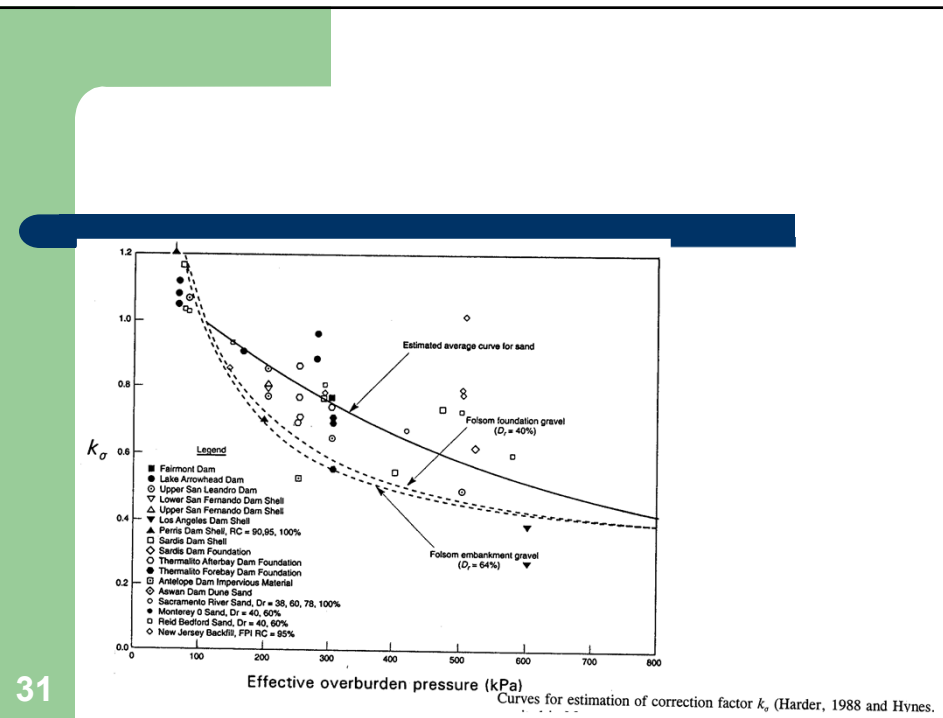
$$\text{FS}_L = \text{CSR}_L / \text{CSR}_{\text{EQ}}$$

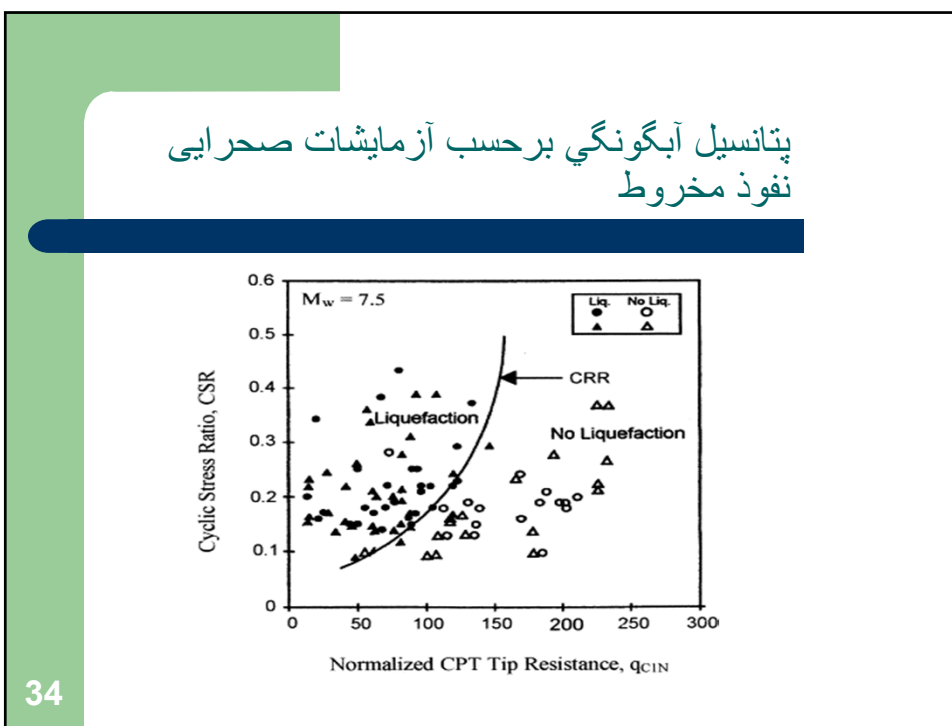
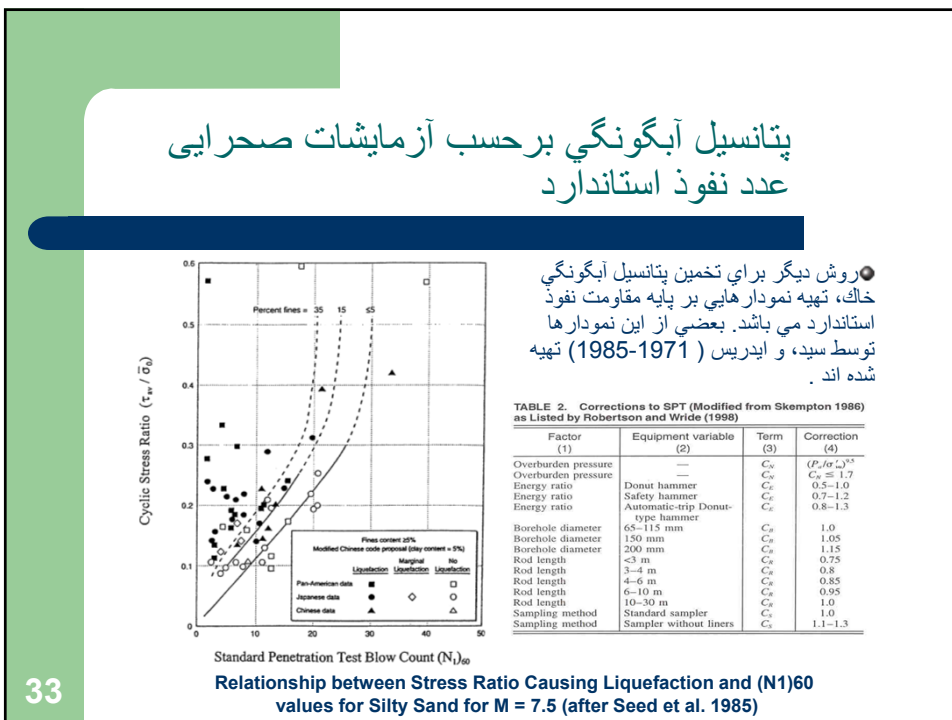
29

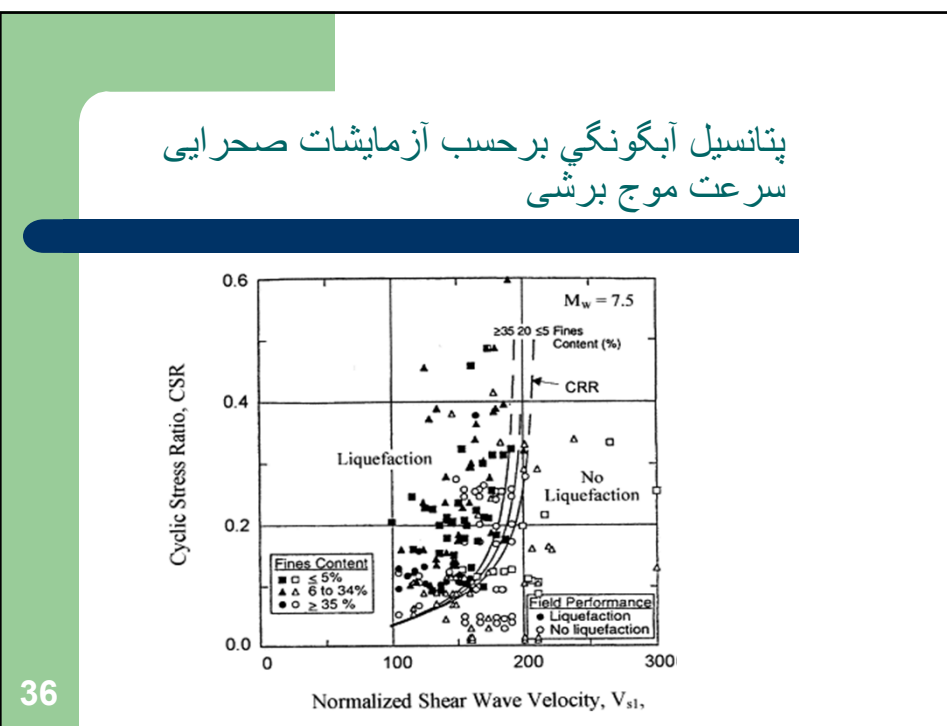
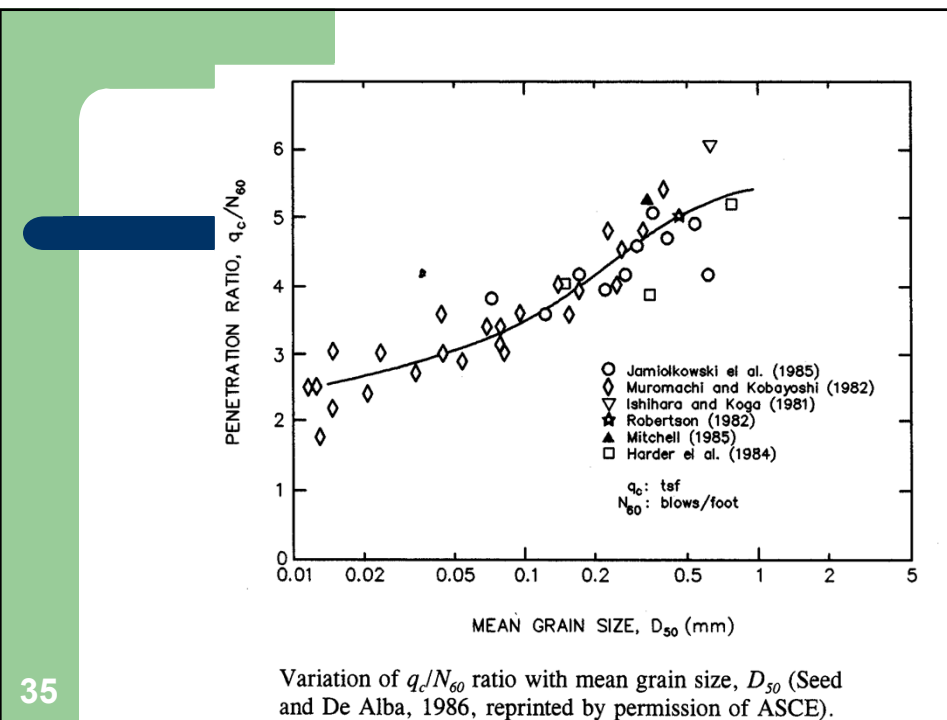
تعیین پتانسیل روانگرایی تأثیر تنش بر شی اولیه و فشارهای جانبی بزرگ



30





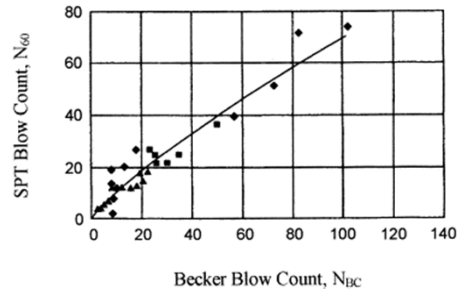


پتانسیل آبگونگی بر حسب آزمایشات صحرایی

تست نفوذ بکر

Becker penetration test (BPT) :

- Useful in gravels
- Number of blows required to drive the casing 300 mm in the gravel
- Very little data linking BPT directly to field liquefaction events
- Becker blow counts are to equivalent SPT blow counts
- Use SPT chart to find CRR



Correlation between SPT and BPT blow counts in sand (modified from Harder and Seed in 1986)

37

تعیین پتانسیل روانگرایی

Comparison of field tests :

Feature	Test Type			
	SPT	CPT	V _s	BPT
Number of test measurements at liquefaction sites	Abundant	Abundant	Limited	Sparse
Type of stress-strain behavior influencing test	Partially drained – large strain	Drained – large strain	Small strain	Partially drained – large strain
Quality control & repeatability	Poor to good	Very good	Good	Poor
Detection of variability of soil deposit	Good	Very good	Fair	Fair
Soil types in which test is recommended	Non-gravel	Non-gravel	All	Primarily gravel
Test provides sample of soil	Yes	No	No	No

Comparisons of advantages and disadvantages of various filed tests for assessment of liquefaction resistance (from NCEER, 1997)

38

تعیین پتانسیل روانگرایی

Comparison of field tests :

- The SPT- and the CPT-based liquefaction assessment charts are the preferred means of evaluating liquefaction potential .
- They are the most reliable because they are supported by the largest databases on the occurrence of liquefaction .
- The SPT test provides soil samples for identification of soil type and many empirical design procedures are based on the SPT, N .
- The CPT provides the best picture of soil stratification and is the most reliable penetration test. Many design procedures are also based on CPT data .
- If the CPT is run with a seismic cone, the shear wave velocities can be measured at the same time. The shear moduli can be readily obtained from the velocity data and can be used as input into dynamic and static analyses.
- The BPT is the most uncertain of the tools for evaluating liquefaction potential but its use may be in gravels

39

پایدار نمودن خاکهای مستعد روانگرایی

- بکی از راههای پایدار نمودن خاکهای مستعد آبگونگی استفاده از زهکشی‌های شنی یا خرد سنگی می باشد. هدف از تعییه زهکشی‌های شنی یا خرد سنگی زایل نمودن اضافه فشار آب حفره ای می باشد که به علت بارهای تناوبی در نهشته ای ماسه ای به وجود می آید. اصول طراحی زهکشی‌های شنی و خرد سنگی توسط سید، و بوکر بسط داده شده است.

- استفاده از پیهای عمیق و نیمه عمیق(شمع)

- تقویت خاک

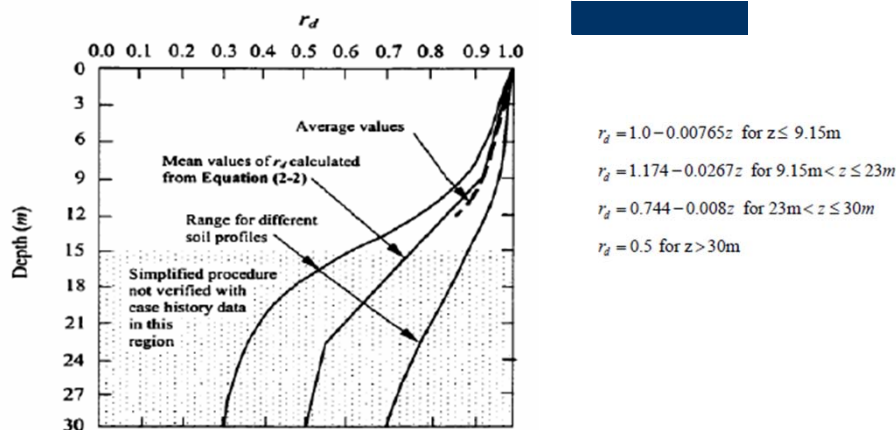
- تعویض خاک

40

$$CSR = \frac{\tau_{ave}}{\sigma'_{vo}} = 0.65 \frac{a_{max}}{g} \frac{\sigma'_{vo}}{\sigma_{vo}} r_d$$

CSR = Cyclic stress ratio,
 a_{max} = Peak ground surface acceleration,
 g = Acceleration of gravity,
 σ'_{vo} = Effective vertical stress,
 σ_{vo} = Total vertical stress, and
 r_d = Stress reduction factor

41



42

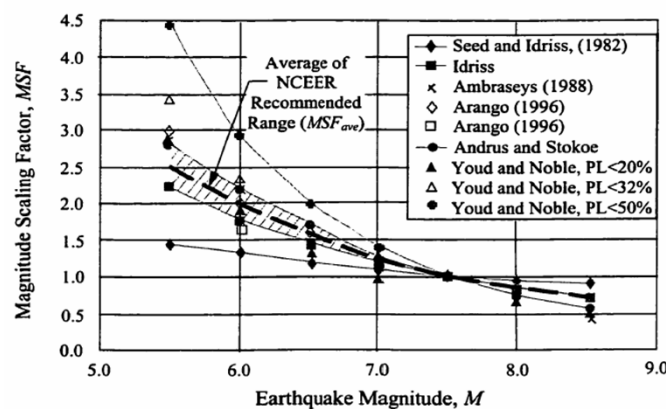
Figure 4.1 r_d versus Depth Curves (NCEER 1997)

$$MSF_{ave} = \begin{cases} \left(\frac{MSF_{Andrus-Stokoe} + MSF_{Idriss}}{2} \right) & \text{for } M \leq 7.5 \\ MSF_{Idriss} & \text{for } M \geq 7.5 \end{cases}$$

$$MSF_{Andrus-Stokoe} = \left[\frac{M}{7.5} \right]^{-3.3}$$

$$MSF_{Idriss} = \frac{10^{2.24}}{M^{2.56}}$$

43



44

$$\text{If } q_{c1N} < 50 \quad CRR_{7.5} = 0.833[(q_{c1N})_{cs} / 1000] + 0.05$$

$$\text{If } 50 \leq q_{c1N} < 160 \quad CRR_{7.5} = 93[(q_{c1N})_{cs} / 1000]^3 + 0.08$$

$$q_{c1N} = C_q (q_c / p_a)$$

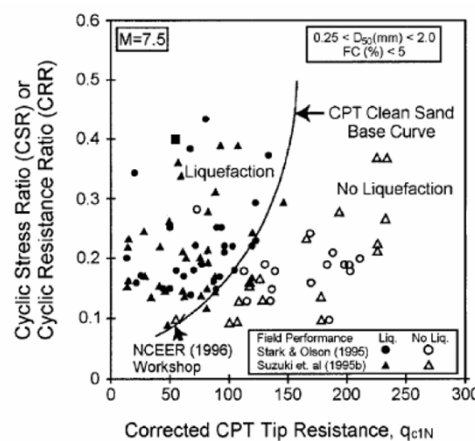
$$C_q = (p_a / \sigma'_{vo})^n$$

p_a = 1 atm of pressure in the same unit used for σ'_{vo} ,

n = exponent that varies with soil type, and

q_c = field cone penetration resistance measured at the tip.

45 The value of the exponent, n, varies from 0.5 to 1.0 depending on the grain characteristics of the soil (NCEER 1997).



46

$$(q_{c1N})_{cs} = K_c q_{c1N}$$

$$\text{For } I_c \leq 1.64 \quad K_c = 1.0$$

$$\text{For } I_c > 1.64 \quad K_c = -0.403I_c^4 + 5.58I_c^3 - 21.63I_c^2 + 33.75I_c - 17.88$$

$$I_c = [(3.47 - \log Q)^2 + (1.22 + \log F)^2]^{0.5}$$

$$Q = [(q_c - \sigma_{vo}) / p_a][(p_a / \sigma'_{vo})^n]$$

$$F = [f_s / (q_c - \sigma_{vo})] \times 100\%$$

where f_s is the sleeve resistance of the CPT (The units are the same as those in which q_c and σ_{vo} are expressed).

4 The detailed calculation procedure of the I_c index for different soil types is given in Youd et al. (2001).